

Н. Е. САРКИСЯН

## ВЫНОСЛИВОСТЬ И ДЕФОРМАТИВНОСТЬ ОРИЕНТИРОВАННОГО СТЕКЛОПЛАСТИКА ПРИ ВЫСОКОЙ ЧАСТОТЕ НАГРУЖЕНИЯ

В практике испытания конструкционных материалов на выносливость при переменном нагружении различают два основных режима нагружения —  $P = \text{const}$  и  $\Delta = \text{const}$ . В первом случае в процессе нагружения поддерживается постоянным амплитудное значение нагрузки, приходящейся на образец, и может изменяться деформация, во втором — сохраняется неизменной деформационная характеристика цикла (перемещение) и во времени может изменяться величина прилагаемой нагрузки [1]. В обоих этих случаях процесс нагружения происходит с постоянной во времени частотой изменения  $P$  или  $\Delta$ . Строго сопоставимые данные, очевидно, могут быть получены лишь при соблюдении идентичности условий эксперимента и одинаковости режима циклического нагружения.

В настоящей работе исследовались усталостные свойства ориентированного стеклопластика при высокой частоте нагружения в режиме, при котором в процессе деформирования соблюдается условие  $P = \text{const}$ , но частота нагружения  $\nu$ , определяемая частотой собственных колебаний образца, может несколько изменяться по мере изменения жесткости образца. Такой режим нагружения в дальнейшем для краткости иногда условно будем называть резонансным.

### §1. Методика исследования

Опыты проводились на испытательной машине РПу-6 производства ГДР, работающей по резонансному принципу и предназначенному для испытания конструкционных материалов на выносливость при осевой деформации с любым коэффициентом асимметрии цикла  $r$ .

На фиг. 1 показан общий вид испытательной установки.

Образец закреплялся в стандартных захватах машины, что обеспечивало надежное крепление его на все время эксперимента.

Контроль нагрузки и асимметрии цикла производился по показаниям пластинчатого элемента силоизмерителя машины.

Независимо от этого параллельный контроль  $P$  и  $r$ , а также измерение продольной деформации осуществлялись по методике [2—4] с той разницей, что здесь использовалось трехканальное универсальное измерительное устройство (тэнзостанция) типа UM-131.

В процессе опыта измерялись частота нагружения, продольная деформация и температура разогрева на поверхности образца.

Частота нагружения  $n$  определялась по измерительному прибору машины. Погрешность измерения не превосходила 1–2%.



Фиг. 1. Общий вид испытательной установки.

Испытаниям подвергался слоистый пластик типа СВАМ на арокси-фенольном связующем с ортогонально равнопрочной укладкой стекловолокон (СВАМ 1:1).

Для исследования влияния анизотропии механических свойств образцы вырезались в направлении волокон в композите ( $\varphi = 0^\circ$ ) и в диагональном по отношению к ним направлении ( $\varphi = 45^\circ$ ).

Форма и размеры образцов те же, что и в работах [5, 6].

Образцы толщиной 5 мм вырезались вдоль направления волокон и испытывались на пульсирующее растяжение ( $r = 0$ ), а толщиной 10 мм — в диагональном направлении и на симметричный цикл нагрузки ( $r = -1$ ).

Частота нагружения  $n_0$  в испытаниях стеклопластиков  $\varphi = 0^\circ$ ,  $r = 0$  и  $\varphi = 45^\circ$ ,  $r = -1$  равнялась соответственно 3000 и 3300 цикла/мин. Разброс в значениях  $n_0$  при переходе от одного образца к другому в каждой серии испытаний не превышал 1%.

Образцы толщиной 5 мм, имеющие ориентацию  $\varphi = 0^\circ$ , были подвергнуты предварительной термической обработке по режиму, описанному в [6]. Вопросы, касающиеся влияния предварительной термообработки образцов на изменение циклической прочности и деформативности испытуемых стеклопластиков при растяжении, были рассмотрены ранее [6].

На каждое значение циклического напряжения испытывалось по 5 образцов.

Усталостные диаграммы построены по корреляционным уравнениям, вычисленным по статистическому методу малого числа измерений [7]. Точки на приведенных кривых соответствуют средним значениям из пяти экспериментальных результатов.

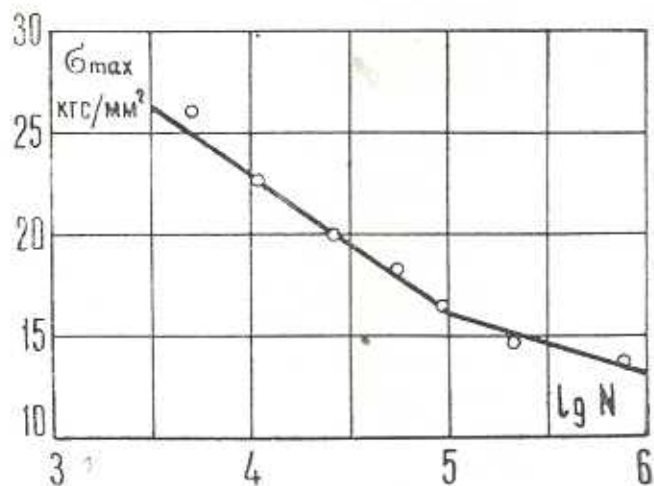
Температура окружающей среды на весь период испытаний была в пределах  $26 \pm 3^\circ\text{C}$ .

## § 2. Обсуждение результатов испытаний

На фиг. 2 и 3 показаны усталостные диаграммы  $\sigma_r - \lg N$ , которые в полулогарифмической системе координат состоят из двух линейных участков. Линейная зависимость между циклической прочностью и логарифмом выносливости имеет общий вид

$$\sigma_r = a - b \lg N$$

где  $\sigma_r$  — напряжение цикла,  $a$  и  $b$  — параметры, зависящие от свойств испытуемого композита и условий испытания, в частности, от анизотропии механических свойств.

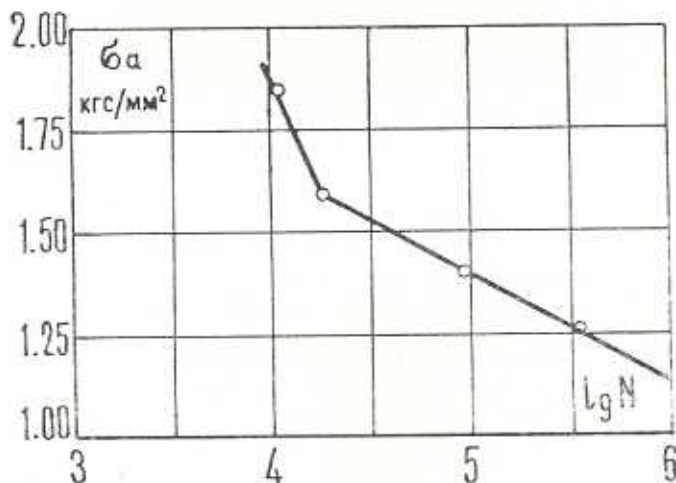


Фиг. 2. Усталостная диаграмма СВАМ 1:1,  $\varphi = 0^\circ$ ,  $r = 0$ .

Как и при циклическом нагружении ориентированных стеклопластиков частотой 1200 цикл/мин в режиме  $P = \text{const}$  [3, 5, 6], такое представление соответствует наименьшему отклонению эксперимен-

тальных результатов от графика зависимости, построенного на основе статистического анализа.

Параметр  $b$  в приведенной выше зависимости по своему абсолютному значению является количественной характеристикой сопротивляемости материала циклическим нагрузкам. Чем выше  $b$ , тем больше уклон графика зависимости  $\sigma_r - \lg N$ , тем материал более склонен к усталостному разрушению.



Фиг. 3. Усталостная диаграмма СВАМ 1:1,  $\gamma = 45^\circ$ ,  $r = -1$ .

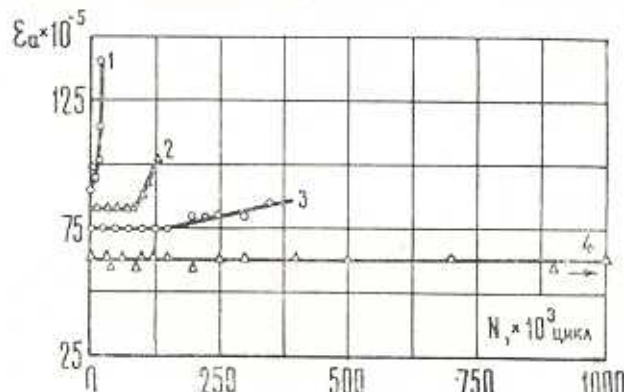
На фиг. 4 показаны кривые изменения амплитудных значений деформаций в процессе длительного циклического нагружения. По характеру они подобны кривым, соответствующим режиму нагружения  $P = \text{const}$  при частоте 1200 цикла/мин [4], с той особенностью, что в данном случае имеет место существенная зависимость между напряжением и амплитудной величиной деформации цикла к моменту разрушения образца.

Таблица 1

Стеклопластик	Продел прочности $\sigma_a$ кг/мм <sup>2</sup>	Коэф. асимм. цикла, $r$	Цикл, на предс. соотв. точке первом уст. нагр., кг/мм <sup>2</sup>	Номер участка Адиаграммы	Параметры и характеристики корреляционного уравнения			
					$a$	$b$	коэффиц. коррел.	осн. ошибка критерия линейн.
СВАМ 1:1, $\gamma = 0^\circ$	$49,85 \pm 1,70$	0	15,90	1	50,3705	6,8493	-0,9460	0,0652
				2	30,5122	2,9087	-0,8563	0,1342
СВАМ 1:1, $\gamma = 45^\circ$	$16,80 \pm 0,80$	-1	1,60	1	6,3295	1,1128	-0,8929	0,2012
				2	2,7186	0,2645	-0,9878	0,0522

Что касается кривых зависимости деформации от количества циклов нагружения при пульсирующем растяжении, то они также по-

добны полученным ранее [4], только в рассматриваемых опытах наблюдается еще более существенный рост деформаций виброползучести, связанный с относительно более высокой температурой разогрева материала в данных испытаниях.



Фиг. 4. Зависимость деформации от напряжения и числа циклов. СВАМ 1:1,  $\gamma = 45^\circ$ ,  $r = 1$ .  $\sigma_0 = 1)$  1.55; 2) 1.35; 3) 1.29; 4) 1.10 кгс/м².

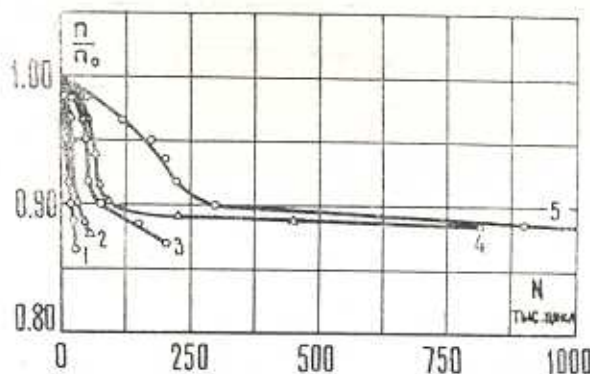
При циклическом нагружении образца посредством машины, работающей по резонансному принципу, частота нагружения  $\nu$  определяется частотой собственных колебаний образца. Последняя зависит от жесткости образца, то есть от исходных величин его размеров и модуля упругости материала. Поэтому в процессе нагружения, когда соблюдается режим  $P = \text{const}$ , частота нагружения может изменяться вследствие изменения жесткости образца. Для стекловолокнистых композитов, являющихся разупрочняющимися материалами, это изменение  $\nu$  происходит в сторону его уменьшения. Уменьшение резонансной частоты нагружения  $\nu$  вызывается двумя причинами [8]: необратимыми изменениями в материале, возникающими вследствие накопления повреждений, и зависимостью модуля упругости материала от температуры.

Ранее в связи с испытаниями стеклопластиков на образцах, вырезанных вдоль направления волокон, было показано, что как в опытах с обычной частотой нагружения  $P = \text{const}$  [9], так и в случаях нагружения со звуковой частотой [8] изменение жесткости образца и резонансной частоты колебания в основном происходит вследствие развития повреждаемости материала, а не повышения температуры образца за счет циклического разогрева.

Поэтому изменение частоты  $\nu$ , во времени в определенной мере может служить количественной характеристикой повреждаемости материала. На фиг. 5 приведены некоторые из экспериментальных кривых изменения отношения  $\nu/\nu_0$ \* в зависимости от числа циклов и на-

\* Здесь  $\nu_0$  — начальное значение резонансной частоты циклов, постоянное для всех образцов заданной серии испытаний независимо от величины прилагаемой нагрузки;  $\nu$  — значение частоты в данный момент циклического деформирования, зависящее от числа циклов  $N$  и напряжения  $\sigma_0$ .

пржения. Эти кривые свидетельствуют, во-первых, об определенной зависимости резонансной частоты колебания  $n$  от циклического напряжения и продолжительности деформирования  $N$ , во-вторых, что более важно, о наличии некоторого критического значения отношения  $n/n_0$ , по достижении которого независимо от величины напряжения наступает разрушение материала.



Фиг. 5. Изменение резонансной частоты нагружения СВАМ 1:1,  $\varphi = 0^\circ$ ,  $\tau = 0$ ,  $\sigma_{\max}$ : 1) 19.85; 2) 18.02; 3) 14.58; 4) 14.00; 5) 13.91 кгс/мм<sup>2</sup>.

Как показывает статистический анализ, это видно также из фиг. 5, среднеарифметическая величина критического значения  $(n/n_0)_c$  при пульсирующем растяжении СВАМ 1:1 вдоль направления волокон составляет 0.882 и характеризуется коэффициентом вариации  $\pm 2.66\%$  (расчеты соответствуют 28 испытаниям).

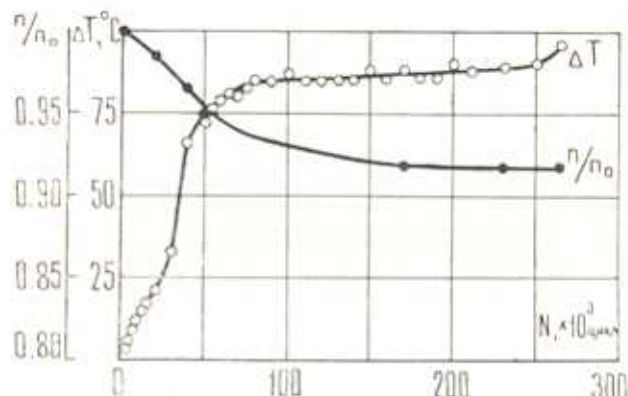
Иная картина наблюдается при испытании образцов, вырезанных в диагональном по отношению к волокнам направлению. Здесь при симметричном растяжении—сжатии, на всем интервале  $10^3 \cdots 10^4$  циклов деформирования, практически во всех опытах начальное значение резонансной частоты с течением времени сохраняется неизменным\*, то есть при разрушении соблюдается условие  $(n/n_0)_c = 1.000$ . Такое явление может свидетельствовать в пользу того, что в этих случаях нагрузки разрушение происходит преимущественно из-за размягчения материала, без заметного накопления повреждаемости.

Экспериментальное исследование относительного изменения модуля упругости СВАМ 1:1,  $\varphi = 0^\circ$ , в функции от температуры в случае статического растяжения выявило слабую линейную зависимость модуля  $E$  от температуры  $T$  вплоть до температуры стеклонования полимерного связующего ( $\sim 90^\circ\text{C}$ ), при которой  $E/E_0 \approx 0.95$  где  $E_0$  — модуль упругости при комнатной температуре [10, 11].

На фиг. 6 для иллюстрации показана еще одна опытная кривая изменения параметра повреждаемости  $n/n_0$ . Там же приведена

\* Лишь в относительно небольшом числе опытов величина  $n_0$  впоследствии уменьшилась. Однако, это изменение в количественном отношении оставалось в пределах точности измерения.

и соответствующая кривая разогрева, отражающая изменение температуры разогрева на поверхности образца в его опасном сечении. Как показывают экспериментальные данные, что видно также и по кривым на фиг. 5 и 6, повреждаемость образца в основном развивается на начальной стадии циклического деформирования, когда температура



Фиг. 6. Изменение резонансной частоты  $n$  и температуры разогрева  $\Delta T$ . СВАМ 1:1,  $\varphi = 0^\circ$ ,  $r = 0$ ,  $\sigma_{max} = 14.68 \text{ кгс}/\text{мм}^2$ ,  $N_p = 265,000$  цикл.,  $T_0 = 26^\circ\text{C}$ .

разогрева еще не достигла своего максимального, более или менее стабильного по времени, значения. Относительная протяженность этой стадии утомления материала составляет  $\sim 0.15 - 0.5 N_p$  и зависит от величины напряжения (выносливости) композита и укорачивается с его уменьшением. По графикам  $\Delta T - N$  на соответствующих участках выносливости температура разогрева растет с возрастающей скоростью, но, как было отмечено, по своей величине  $T$  еще не достигает своего максимального стабильного значения. Непосредственно перед разрушением образца снова наблюдается повышение скорости роста температуры разогрева и новое, но уже небольшое, падение значения  $n/n_0$ . Отсюда можно заключить, что в случае циклического растяжения композита вдоль направления волокон суммарная повреждаемость материала перед разрушением большей частью является результатом механического разупрочнения, а не размягчения материала.

**Выводы.** 1. При циклическом деформировании ориентированного стеклопластика СВАМ частотой  $\sim 3000$  цикл/мин зависимость между напряжением и выносливостью в полулогарифмической системе координат имеет линейный характер, как и при частоте нагружения 1200 цикл/мин.

2. Несущая способность композита в рассматриваемых условиях деформирования исчерпывается при определенном изменении начального значения частоты нагружения независимо от приложенного напряжения.

3. По экспериментальным результатам можно заключить, что при пульсирующем растяжении стеклопластика вдоль волокон стеклонлас-

тик разрушается хрупко, а при симметричном цикле растяжения—сжатия в диагональном направлении потеря работоспособности материала происходит прежде всего из-за размягчения материала.

Институт механики  
АН Армянской ССР

Поступила 25 X 1973

Н. Е. САРКИСЯН

ԿՈՎԱՄԱՐՈՉՎԱԾ ԱՊԱԿԵԳԼԱՍՆԵՐԻ ԴԻՄԱՑԿՈՒԽՈՒԹՅՈՒՆՆԵՐ  
ԵՎ ԴԵՖՈՐՄԱՑԻՈՒԹՅՈՒՆՆԵՐ ԲԵՇԽԱՎԱՐՄԱՆ ԲԱՐՁՐ ՀԱԶԱՐԱԿԱՆՈՒԹՅՈՒՆ  
ԴԵՊՔՈՒՄ

### Ա մ ֆ ո ֆ ու մ

Ուսումնառությել է Էպոքսի-ֆենոլային խեժի լրա պատրաստված ԸՎԱՄ տիպի օրբողոնալ հավասարամուր ապակեպլաստի զողնածային հատկությունները թելիկների ուղղությամբ բարափող ձգման և թելիկների նկատմամբ անկյունաղծային ուղղությամբ սիմետրիկ ձգման-սեղմման դեպքում: Բեռնավորման ցիկլերի համարականությունը համապատասխանել է 3000 և 3300 ցիկլուսում:

Հրսութերիմենտալ արդյունքներից հետևում է, որ թելիկների ուղղությամբ ցիկլիկ բեռնավորման դեպքում ապակեպլաստի բայրայումը կրում է առավելագույն մեխանիկական ընույթ, իսկ թելիկների նկատմամբ անկյունաղծային ուղղությամբ կրողունակության կորուստը առաջին հերթին տեղի է ունենալ նյարթի շերժային փափկեցման պատճառով:

## DURABILITY AND DEFORMABILITY OF ORIENTED FIBREGLASS PLASTICS UNDER HIGH FREQUENCY LOADING

N. E. SARKISIAN

### Summary

The fatigue characteristics of orthogonally equistrong fibreglass plastics of the "CBAM" type under symmetric cycles of tension-compression, pulsating along fibres in the direction diagonal to the latter, are examined.

The frequency of loading cycles is 3000 and 3300 cycles/min respectively.

## ЛИТЕРАТУРА

1. Бекш Т. А., Шнейдерович Р. М. Методы оценки прочности при малом числе циклов нагружения. Заводская лаборатория, т. XXX, № 12, 1964.
2. Олдырев П. П. Исследование деформативных свойств, рассеяния энергии и разрушения жестких полимерных материалов при длительном циклическом нагружении. Автореферт канд. дисс., Рига, 1968.
3. Саркисян Н. Е. Прочность и деформативность стеклоопластиков типа СВАМ при циклическом осевом нагружении. Изв. АН Арм. ССР, Механика, т. XXIII, № 6, 1969.
4. Саркисян Н. Е. Анизотропия статической и циклической деформативности стеклоопластиков типа СВАМ. Изв. АН Арм. ССР, Механика, т. XXIV, № 3, 1971.
5. Саркисян Н. Е. Анизотропия усталостной прочности стеклоопластиков типа СВАМ. Изв. АН Арм. ССР, Механика, т. XXIV, № 2, 1971.
6. Саркисян Н. Е. О влиянии термической обработки на усталостные свойства нетканого стеклоопластика. Изв. АН Арм. ССР, Механика, т. XXV, № 5, 1972.
7. Митропольский А. К. Техника статистических вычислений. Физматгиз, М., 1961.
8. Анина Р. П., Скалозуб С. А., Уржумцев Ю. С. Усталость стеклоопластика при звуковых частотах колебаний. Механика полимеров, № 6, 1972.
9. Олдырев П. П., Тамуж В. П. Изменение свойств стеклотекстолита при циклическом растяжении-сжатии. Механика полимеров, № 5, 1967.
10. Замбахидзе Д. В., Рабинович А. А. Влияние температуры и анизотропии на упругие константы ориентированных стеклоопластиков. Механика полимеров, № 6, 1968.
11. Красников Е. Н., Зверев А. Н. Исследование механических характеристик стеклоопластика типа СВАМ в условиях пониженных и повышенных температур. В кн.: Физико-химия и механика ориентированных стеклоопластиков. „Наука“, М., 1967.